

Письма в ЖТФ, том 16, вып. 24

26 декабря 1990 г.

05.1; 11

© 1990

ЛЕГИРОВАНИЕ СУРЬМОЙ ПРИ НИЗКОТЕМПЕРАТУРНОЙ МОЛЕКУЛЯРНО-ЛУЧЕВОЙ ЭПИТАКСИИ КРЕМНИЯ

Б.З. К а н т е р, А.И. Н и к и ф о р о в,
С.И. С т е н и н

Одной из проблем молекулярно-лучевой эпитаксии кремния (МЛЭ Si) является устранение сегрегационного слоя на поверхности роста, возникающего в процессе легирования путем соиспарения кремния и примеси. Эффективность легирования может быть описана коэффициентом встраивания K , который равен отношению потока атомов примеси, встраиваемых в решетку растущего кристалла, к потоку примеси, поступающему на поверхность. Для большинства донорных примесей при легировании соиспарением $K \ll 1$ в диапазоне температур $T_S = 600-800^\circ\text{C}$ в [1] по изменению концентрации предварительно напыленной сурьмы обнаружено ускорение встраивания на поверхностях $\text{Si}(111)$ и $\text{Si}(100)$ в процессе МЛЭ Si при $T_S = 200-500^\circ\text{C}$ в [2] сделана оценка влияния скорости роста V на встраивание Sb, предварительно напыленной на поверхность $\text{Si}(100)$. Однако в [1, 2] отсутствуют данные о распределении Sb в эпитаксиальной структуре, хотя для понимания механизма легирования при низкотемпературной МЛЭ Si необходимо знание предельных концентраций примеси в эпитаксиальных слоях и соответствующих концентрационных переходов. Кроме того, в отличие от метода предварительного напыления, использованного в [1, 2], в большинстве случаев примесь вводится путем одновременного испарения с кремнием, что может повлиять на процесс легирования. В данной работе информация о встраивании Sb получалась путем измерения профиля распределения электрически активной примеси

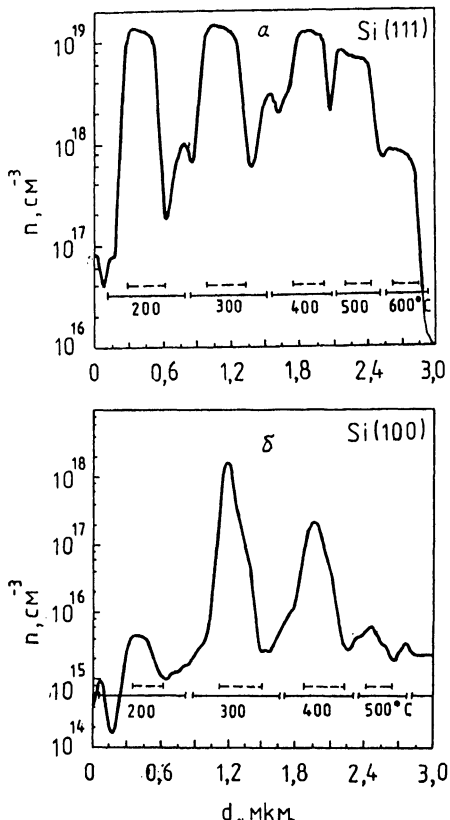


Рис. 1. Профили распределения концентрации Sb в циклически легированных структурах. Около сплошных или пунктирных линий указаны, соответственно, T_s или F_{Sb} в момент эпитаксии. Для а, б : $F_{Sb} = 10^{12}$ ат/см 2 .с.

в структурах, циклически легированных путем соиспарения примеси и кремния.

Работа выполнялась на установке МЛЭ, в которой поток Si формировался электронно-лучевым испарителем, а Sb напылялась из тигельного источника [3]. Эпитаксия проводилась на подложках $Si(111)$ и $Si(100)$ с постоянной скоростью $V = 0.3$ нм/с. Цикл роста при каждой заданной T_s состоял из трех участков: на первом и третьем поток сурьмы $F_{Sb} = 0$, на втором – $F_{Sb} = 10^{12}$ ат/см 2 .с. Для получения картины распределения примеси применялся метод измерения сопротивления растекания.

Распределение концентрации примеси в эпитаксиальных структурах приведено на рис. 1, а, б, а на рис. 2 представлена зависимость максимальной концентрации и К от T_s^{-1} . Для $Si(111)$ эта зависимость состоит из двух участков. При $T_s > 500$ °С имеет место

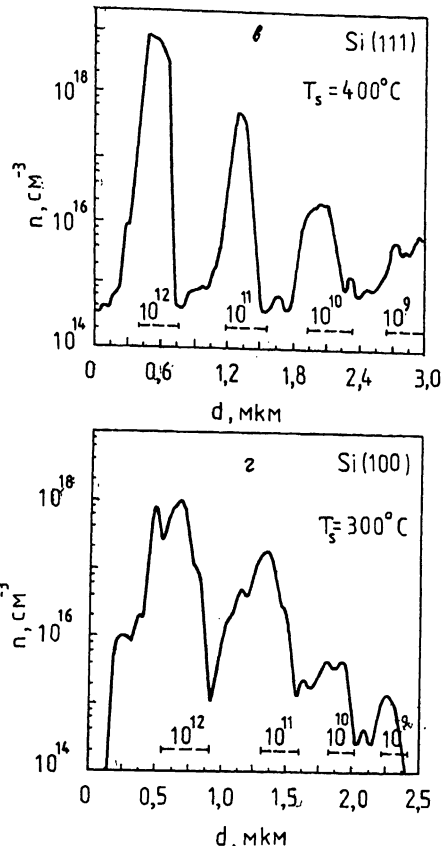


Рис. 1. (продолжение).

экспоненциальный рост в зависимости от T_s^{-1} с энергией активации 1.2 эВ. При $T_s > 500$ °С имеет место низкотемпературный режим, соответствующий величине К, близкой к 1. Особенностью низкотемпературного режима эпитаксии для Si (111) является снижение с температурой минимальной концентрации примеси на участках роста, где $F_{Sb} = 0$ (рис. 1, а). По данным дифракции быстрых электронов, переход к низкотемпературному режиму характеризуется изменением структуры поверхности из 7×7 в 1×1 . Отмеченную перестройку структуры поверхности важно иметь ввиду, сравнивая наши результаты с [1, 2], где на первых стадиях процесса эпитаксии имеет место высокая поверхностная концентрация Sb и возможно формирование двумерных упорядоченных фаз, стабилизированных примесью [4]. В наших условиях легирования отношение потоков $F_{Sb} / F_{Si} < 10^{-3}$, и поэтому структура поверхности определяется только значениями γ и T_s .

Процесс легирования для Si (100) отличается от описанного

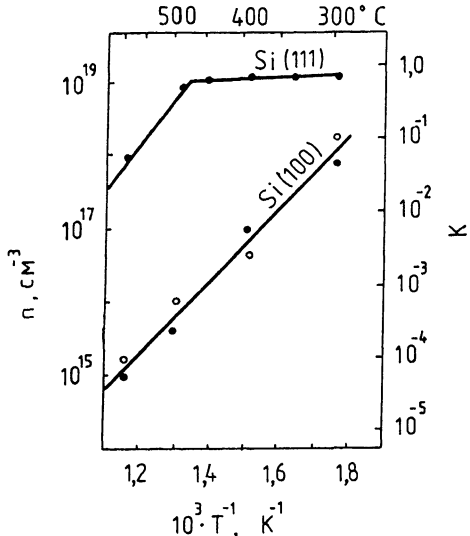


Рис. 2. Зависимость максимальной концентрации Sb в легированном слое и коэффициента встраивания K от T_s^{-1} .

для $Si(111)$ (рис. 1, б). Экспоненциальное нарастание K от 10^{-4} до 10^{-1} с уменьшением T_s происходит во всем исследованном диапазоне $600\text{--}300\text{ }^\circ\text{C}$ с энергией активации около 1 эВ (рис. 2). Внутри диапазона температур $200\text{--}300\text{ }^\circ\text{C}$ наблюдается изменение структуры поверхности из $Si(100)-2\times1$ в $Si(100)-1\times1$. Можно предполагать, что переход к режиму низкотемпературного легирования для поверхности $Si(100)$ должен происходить около $250\text{ }^\circ\text{C}$ и находиться вблизи нижней границы эпитаксии для $V=0,3\text{ нм/с}$.

Для определения диапазона легирования в низкотемпературном режиме МЛЭ Si были изготовлены многослойные структуры при F_{Sb} от 10^9 до $10^{12}\text{ ат}/\text{см}^2\cdot\text{с}$ и T_s , близкой к минимальной для данной ориентации: $400\text{ }^\circ\text{C}$ для $Si(111)$ и $300\text{ }^\circ\text{C}$ для $Si(100)$ (рис. 1, в, г). Между значениями F_{Sb} и максимальной концентрацией носителей в слое наблюдается связь, близкая к линейной. Это позволяет предполагать высокую степень ионизации примеси в кристалле и отсутствие выпадения ее в отдельную фазу при концентрациях до 10^{18} см^{-3} для $Si(100)$ и до 10^{19} см^{-3} для $Si(111)$.

Известно, что основная часть молекулярного потока из тигельного источника сурьмы состоит из кластеров Sb_4 [5]. Так как для $Si(111)$ в низкотемпературном режиме $K \rightarrow 1$, то можно предполагать, что на поверхности роста в процессе легирования имеет место полная диссоциация кластеров Sb_4 с последующим встраиванием атомов Sb в решетку растущего кристалла. На $Si(100)$ процесс диссоциации, по-видимому, затруднен. Это следует из наших результатов, из данных [1], где Sb напылялась на поверхность $Si(111)$ и $Si(100)$ не во время, а до начала

эпитаксии, а также из результатов [6, 7], в которых показано, что с поверхности $Si(100)$ при $300-600$ $^{\circ}C$ сурьма испаряется в виде кластеров Sb_4 . Встраивание примеси облегчается, если она поступает на поверхность роста в виде мономеров, как это показано для Al и P на $Si(100)$ [8].

Изменение величины K в области перехода к низкотемпературному режиму эпитаксии можно объяснить повышением плотности адатомов на поверхности роста при разрушении сверхструктуры $Si(111)-7\times7$. Так, по данным отражательной электронной микроскопии при перестройке из 7×7 в 1×1 покрытие адатомами достигает величины 0.2–0.3 монослоя [9]. После перестройки структуры плотность адатомов меняется мало, что коррелирует с уменьшением скорости роста K . Такое же объяснение справедливо для поведения легирующей примеси на поверхности $Si(100)$, что обосновывает существование низкотемпературного режима эпитаксии при $T_S < 300$ $^{\circ}C$ после описанной выше перестройки из 2×1 в 1×1 . Можно предполагать, что повышение плотности адатомов, вызванное не поступлением из пара, а только высокотемпературными изменениями структуры поверхности, например, $Si(111)-7\times7$ в 1×1 при 830 $^{\circ}C$, должны сопровождаться соответствующими изменениями коэффициента встраивания примеси.

Список литературы

- [1] Nakagawa K., Miyao M., Shiraki Y. // Thin Solid Films. 1989. V. 183. No 1/2. P. 315–322.
- [2] Jorke H. // Surf. Sci. 1988. V. 193. No 3. P. 569–578.
- [3] Кантер Б.З., Никифоров А.И. // ПТЭ. 1990. № 2. С. 156–159.
- [4] Кантер Б.З., Никифоров А.И., Стенин С.И. // Письма в ЖТФ. 1988. Т. 14. В. 21. С. 1963–1968.
- [5] Muhlbach J., Pflau R., Recnage E., Sattler K. // Surf. Sci. 1981. V. 106. No 1–3. P. 18–26.
- [6] Yata M. // Thin Solid Films. 1986. V. 137. No 1. P. 79–87.
- [7] Barnett S., Winters H., Green J. // Surf. Sci. 1986. V. 165. No 2–3. P. 303–326.
- [8] Кузнецов В.П., Андреев А.Ю. // Поверхность. Физика, химия, механика. 1989. № 3. С. 49–52.
- [9] Latyshev A.V., ASEEV A.L., Krassilnikov A.B., Stenin S.I. // Surf. Sci. 1990. V. 227. No 1. P. 24–34.